

Із розподілу температурного поля в приміщенні видно, що температура 353°C, яка є температурою самоспалахування соснової деревини, пошириться на відстань 4м за 800с, що спричинить утворення нових осередків вогнищ.

## ЛІТЕРАТУРА

1. Драйздейл Д. Введение в динамику пожаров.-М.: Стройиздат, 1990.- 424 с.
2. Алексащенко А.А., Кошмаров Ю.А. Теплоперенос при пожаре - М.: Стройиздат, 1982.-175 с.
3. Лыков А.В. Теория теплопроводности. –М.: Высшая школа, 1967.-599 с.
4. Ольшанский В.П., Тригуб В.В. Нестационарное температурное поле трехмерного массива насыпи, порожденное сферическим очагом // Проблемы пожарной безопасности. Сб науч. тр. АПБ Украины, Вып. 12 – Харьков: Фолио, 2002.- С.144-149.
5. Гуліда Е.М., Карабин О.О., Смотров О.О. Математична модель поширення лісових пожеж // Пожежна безпека. - 2005. –№ 6. -С.7-12.
6. Гуліда Е.М., Карабин О.О., Смотров О.О. Математична модель поширення лісових пожеж з урахуванням конвективного теплообміну // Пожежна безпека. 2005. –№ 7. – С.48-53.

УДК 621.314:539.377

*М.М.Семерак д.т.н., професор, В.І.Гудим, д.т.н., доцент, О.М Коваль  
(Львівський державний університет безпеки життєдіяльності)*

### ДОСЛІДЖЕННЯ РЕЖИМІВ НАГРІВАННЯ ПРОВІДНИКІВ ЕЛЕКТРИЧНИМ СТРУМОМ

Шляхом математичного моделювання процесів тепловідведення у системі провідник електричного струму – електроізоляція, отримано залежності величин нагрівання провідника електричним струмом, які мають практичне застосування для промислових і побутових електричних мереж

*Актуальність задачі.* Однією із причин виникнення пожеж у побутових та громадських приміщеннях є нагрівання провідників електричних мереж струмами перевантаження або короткого замикання, які здатні за лічені секунди нагріти їх до небезпечних температур [1]. У довідковій літературі для проєктантів наведені за температурним режимом допустимі значення струмів, які є безпечними для таких мереж, однак часто трапляються випадки струмових перевантажень електричних мереж, які за даних умов теж можуть не нагрівати провідники до критичних температур [2]. Тому задача оцінки розподілу температури ізольованого провідника є важливою і актуальною, особливо для експлуатації та технічної експертизи.

*Мета роботи.* Задача полягає в тому, щоб отримати узагальнений вираз на основі розв'язання системи диференційних рівнянь теплового балансу з електричним джерелом нагрівання, який дозволив би виконати аналіз розподілу температури в системі провідник ізоляція, використовувати теплофізичні характеристики провідника та ізоляції.

*Постановка задачі та її розв'язання.* Під час протікання електричного струму величиною  $I$  у провіднику довжиною  $l$  і з поперечним перерізом, що має опір електричний

$R_e = \rho \frac{l}{S}$  впродовж часу,  $\tau$  виділяється тепло рівне  $Q = I^2 R_e \tau$ , яке нагріває провідник і

через його поверхню передається зовнішньому середовищу. За умови незмінності величини електричного струму після перехідного процесу настає ustalений режим коли в поперечному перерізі провідника його температура розподіляється нерівномірно. Найбільше значення температура досягає в центрі перерізу, а на поверхні  $r=R$ , де відбувається теплообмін із зовнішнім середовищем, температура є дещо нижчою. Коли процес стане стаціонарним, кількість тепла, яка виділяється струмом дорівнюватиме теплу, яке віддається зовнішньому середовищу, в наслідок чого на поверхні провідника, з радіусом  $r=R$  встановлюється постійна температура, величина якої залежить від інтенсивності теплообміну, що характеризується коефіцієнтом теплопровідності  $\alpha$ , (Вт/м<sup>2</sup>К).

За наявності ізоляції, тепло з поверхні ізоляції  $r=R_1$  передається зовнішньому середовищу, яке оточує поверхню ізоляції.

Розглянемо оголений провідник радіусом  $R$  по якому тече струм діючим значенням  $I$ .

Приймаємо циліндричну систему координат, початок якої розміщено в центрі поперечного перерізу провідника, а вісь  $r$  лежить в площині перерізу. Визначення температурного поля круглого провідника зводиться до розв'язання стаціонарного диференційного рівняння теплопровідності [3] у вигляді:

$$\frac{d^2T}{dr^2} + \frac{1}{r} \frac{dT}{dr} = -\frac{q_v}{\lambda}, \quad (1)$$

де  $q_v = \rho J^2$  - питома потужність тепловиділення, Вт/м<sup>3</sup>;  $\rho$  - питомий опір матеріалу провідника, Ом·м;  $c$ ;  $J = \frac{I}{S}$  - густина струму, А/м<sup>2</sup>;  $S = \pi R^2$  - для круглого провідника, що має радіус  $R$ , м<sup>2</sup>;  $\lambda$  - коефіцієнт теплопровідності, Вт/(м·К).

Інтегруючи рівняння (1) двічі по  $r$ , знайдемо загальний розв'язок

$$T = -\frac{q_v}{4\lambda} r^2 + A_1 \ln r + A_2, \quad (2)$$

де  $A_1$  і  $A_2$  - сталі інтегрування, які знайдемо із двох граничних умов, які записуються у вигляді.

$$T \neq \infty \text{ при } r=0; \quad T = T_R \text{ при } r = R. \quad (3)$$

Із рівняння (2) і першої умови (3) знаходимо  $A_1 = 0$ . Враховуючи другу умову знаходимо

$$A_2 = T_R + \frac{q_v}{4\lambda} R^2. \quad (4)$$

Підставляючи (4) в (2), враховуючи, що  $A_1 = 0$ , загальний розв'язок рівняння (1) запишемо у вигляді

$$T = -\frac{q_v}{4\lambda} r^2 + T_R + \frac{q_v}{4\lambda} R^2 = \frac{q_v R^2}{4\lambda} \left(1 - \frac{r^2}{R^2}\right) + T_R. \quad (5)$$

Якщо температуру в центрі провідника ( $r=0$ ) позначимо  $T_0$ , то із виразу (5) отримаємо:

$$T_0 = \frac{q_v R^2}{4\lambda} + T_R. \quad (6)$$

Температурний перепад між центром провідника  $r=0$  і його поверхнею  $r=R$  запишемо із виразу (6) у вигляді:

$$T_0 - T_R = \frac{q_v R^2}{4\lambda}. \quad (7)$$

Вираз (7) показує, що перепад температури між центром і поверхнею провідника повністю визначається внутрішнім тепловиділенням  $q_v$  і коефіцієнтом теплопровідності  $\lambda$  матеріалу провідника. Приймаючи перепад температури  $\frac{q_v R^2}{4\lambda}$  за базову величину із рівності (5) отримаємо вираз температури в будь-якій точці провідника у вигляді:

$$(T - T_R) \frac{4\lambda}{q_v R^2} = 1 - \frac{r^2}{R^2} \quad (8)$$

Ввівши позначення  $\theta^* = (T - T_R) \frac{4\lambda}{q_v R^2}$   $r^* = \frac{r}{R}$  за виразом (8) побудуємо графічну залежність відносного значення температури у будь-якій точці перерізу провідника в координатах  $\theta^*, r^*$ ,

Задаючись різними значеннями радіуса круглого провідника, обчислимо безрозмірне поле температури для цього провідника за формулою  $4\lambda \frac{T - T_R}{q_v R^2} = 1 - r^{*2}$ , котре наведено на рис.1 у відповідних координатах

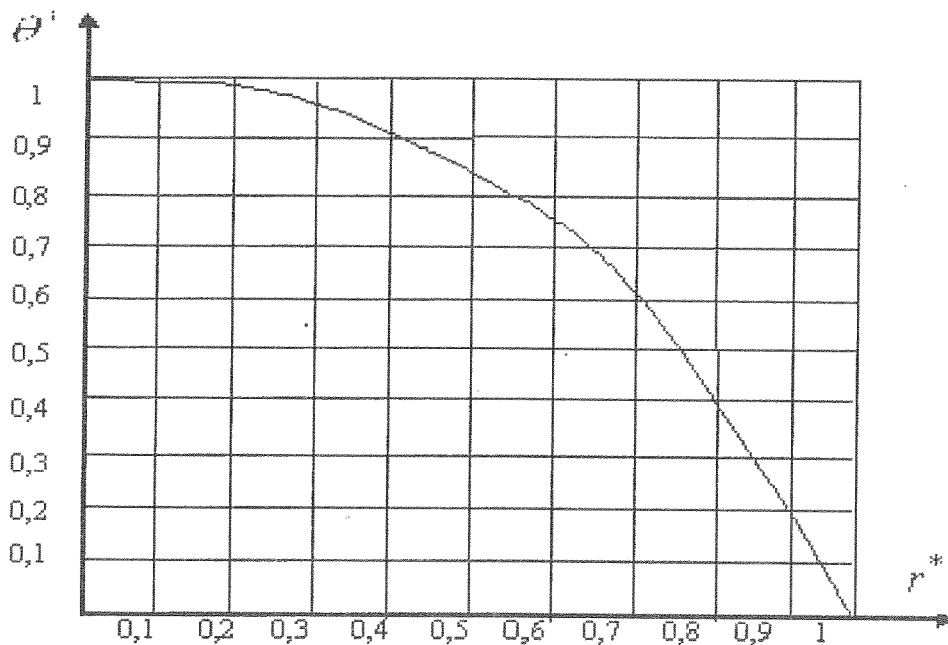


Рис.1 Залежність відносного значення температури поля круглого провідника від радіуса поперечного перерізу.

Якщо провідник (рис.2) має ізоляцію, тоді необхідно розглядати теплопровідність двошарового коаксіального циліндра з тепловиділенням в центральному шарі. Характеристики, які відносяться до металевого провідника, будемо позначати індексом 1, а характеристики, що відносяться до ізоляції – індексом 2.

Розв'язок рівняння теплопровідності для провідника  $0 \leq r \leq R_1$  з тепловиділенням одержано в вигляді (2)

$$T_1 = -\frac{q_v}{4\lambda} r^2 + A_1 \ln r + A_2 \quad (9)$$

Для визначення закону розподілу температури в зовнішньому (ізоляційному), циліндрі ( $R_1 \leq r \leq R_2$ ), записується однорідне диференціальне рівняння;

$$\frac{d^2 T_2}{dr^2} + \frac{1}{r} \frac{dT_2}{dr} = 0 \quad (10)$$

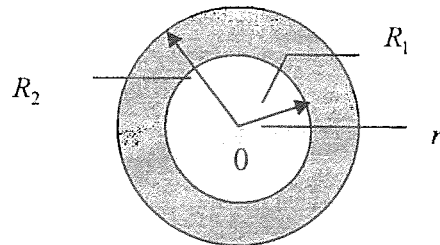


Рис.2. Конструктивна схема ізольованого проводу.

Інтегруючи це рівняння двічі по  $r$ , знайдемо розв'язок у вигляді

$$T_2 = B_1 \ln r + B_2, \quad (11)$$

де  $B_1$  і  $B_2$  - сталі інтегрування диференційного рівняння (13).

Для знаходження сталих інтегрування  $A_1, A_2, B_1, B_2$  запишемо чотири граничні умови, зокрема:

1. Обмеження температури в центрі коаксіального циліндра тобто

$$T_1 \neq \infty \text{ при } r = 0 \quad (12)$$

2. Рівності температур і теплових потоків на поверхні спряження циліндрів першого та другого середовищ:

$$T_1 = T_2, \quad \lambda_1 \frac{dT_1}{dr} = \lambda_2 \frac{dT_2}{dr} \quad \text{при } r = R_1. \quad (13)$$

3. Умова теплообміну на межі між зовнішньою поверхнею циліндра ( $r = R_2$ ) і зовнішнім середовищем

$$\lambda_2 \frac{dT_2}{dr} = \alpha(T_c - T_2) \quad \text{при } r = R_2, \quad (14)$$

де  $\lambda_1, \lambda_2$  - коефіцієнт теплопровідності матеріалу провідника і ізоляції відповідно, Вт/мК;  $\alpha$  - коефіцієнт тепловіддачі з циліндричної поверхні  $r = R$  Вт/м<sup>2</sup>К;  $T_c$  - температура зовнішнього середовища.

Задовольняючи умови (12)-(14) запишемо систему алгебраїчних рівнянь, внаслідок розв'язання яких знаходимо сталі інтегрування у вигляді:

$$A_1 = 0, \quad B_1 = -\frac{q_v R_1^2}{2\lambda_2}, \quad B_2 = -\frac{q_v R_1^2}{2\lambda R_2} + T_c + \frac{q_v R_1^2}{2\lambda_2} \ln R_2,$$

$$A_2 = \frac{q_v R_1^2}{4\lambda_1} \left[ 1 + \frac{\lambda_1}{\lambda_2} \ln \frac{R_2^2}{R_1^2} - \frac{2\lambda_1}{\alpha R_2} \right] + T_c.$$

Підставляючи одержані значення сталих в вирази (9) і (12), одержимо вирази температурного поля у провіднику та ізоляції відповідно:

$$T_1 = \frac{q_v R_1^2}{4\lambda_2} \left[ \frac{\lambda_2}{\lambda_1} (1 - r^2) + \ln \frac{R_2^2}{R_1^2} - \frac{2\lambda_2}{\alpha R_2} \right] + T_c. \quad (15)$$

$$T_2 = \frac{q_v R_1^2}{4\lambda_2} \left[ \ln \frac{R_2^2}{r^2} - \frac{2}{\alpha R_2} \right] + T_c \quad (16)$$

Використовуюючи вирази (15) і (16) запишемо узагальнений вираз температури розглядуваної системи у вигляді:

$$T = \frac{q_v R_1^2}{4\lambda_2} \left[ \frac{1}{\lambda} \left( 1 - \frac{r^2}{R_1^2} \right) + \ln \frac{R_2^2}{R_1^2} + \lambda_2 \frac{2}{\alpha R_2} \right] S_-(R_1 - r) + \frac{q_v R_1^2}{4\lambda_2} \left( \frac{\lambda_2}{\alpha R_2} - \ln \left( \frac{r}{R_2} \right)^2 \right) S_+(r - R_1) + T_c \quad (17)$$

де  $S_-(x) = \begin{cases} 1, x \geq 0 \\ 0, x < 0 \end{cases}$ ;  $S_+(x) = \begin{cases} 1, x > 0 \\ 0, x \leq 0 \end{cases}$  - асиметричні одиничні функції [4].

Аналіз одержаного виразу показує, що температурне поле ізолюваного провідника залежить від радіусів провідника і ізоляції, інтенсивності тепловиділення  $q_v$ , значення теплопровідностей матеріалу провідника і матеріалу ізоляції  $\lambda_1$  і  $\lambda_2$ , відповідно, а також інтенсивності тепловіддачі  $\alpha$  з поверхні ізоляції.

Для спрощення процесу обчислень вираз (17) запишемо в безрозмірному вигляді:

$$\theta = \left( \frac{1 - \rho^2}{\lambda} + \ln R^{*2} + \frac{2}{Bi} \right) S_-(1 - \rho) + \left( \frac{2}{Bi} - \ln \left( \frac{\rho}{R} \right)^2 \right) S_+(\rho - 1) + T_c \quad (18)$$

де  $\theta = \frac{4\lambda_2(T - T_c)}{q_v R_1^2}$ ,  $R^* = \frac{R_2}{R_1}$ ,  $\rho = \frac{r}{R_1}$ ,  $\lambda = \frac{\lambda_1}{\lambda_2}$ ,  $Bi = \frac{\alpha R_2}{\lambda_2}$  - критерій Біо, ,

Обчислення температури на поверхні провідника в іменованих одиницях здійснюється за формулою  $T = \frac{\theta q_v R_1^2}{4\lambda_2} + T_c$

За виразом (18) проведені розрахунки безрозмірного температурного поля мідного провідника з поліхлорвініловою ізоляцією поперечний переріз якого  $S = 1,5 \text{ мм}^2$  для  $\lambda = 3900$ ,  $\lambda_2 = 0,1 \text{ Вт/(м} \cdot \text{К)}$ ,  $R^* = 2,48$ ,  $Bi = 46 \cdot 10^{-2}$ ,  $q_v = 33,3 \cdot 10^6 \text{ Вт/м}^3$ . Розрахунок виконано для випадку протікання струму у даному провіднику, прокладеному у повітрі зі струмом перевантаження  $I = 50 \text{ А}$  [4] і температурою зовнішнього середовища  $T_c = 20^\circ \text{ C}$

Результати розрахунків наведені на рис.4

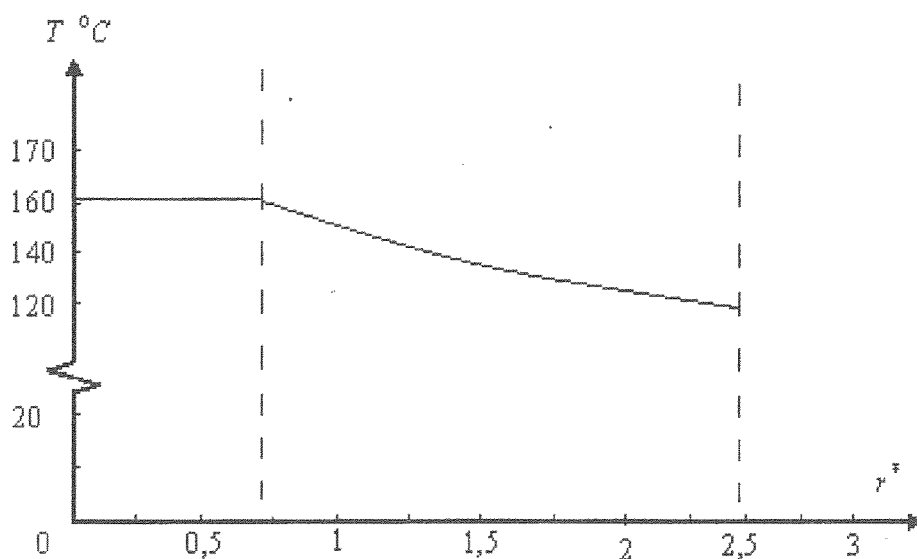


Рис.4 Розподіл температури у провіднику та ізоляції в залежності від радіуса.

**Висновок.** Аналіз розрахунків показує, що при двократному значенні струму температура провідника на поверхні контакту з ізоляцією з коефіцієнтами теплопровідності ізоляції  $\lambda_2 = 0,1 \text{ Вт}/(\text{м} \cdot \text{К})$  та тепловіддачі  $\alpha = 23 \text{ Вт}/(\text{м}^2 \cdot \text{К})$  перевищує температуру оточуючого середовища на  $141,2 \text{ }^\circ\text{C}$ , а на зовнішній поверхні ізоляції – на  $99,09 \text{ }^\circ\text{C}$ .

Отримані вирази дозволяють оцінити величину температурних полів у провідниках і ізоляції електричних мереж соціально-побутових приміщень для відповідних ustalених значень струмів та температури оточуючого середовища.

Визначення температурних полів провідників складної конструкції з наявністю кількох шарів ізоляції можна проводити за розробленим алгоритмом із врахуванням підходу наведеного в роботі [5].

#### ЛІТЕРАТУРА:

1. *Пожезна безпека №2 (77) 2006р. С.32-33*
2. *Правила устройства электроустановок./Минэнерго СССР. 6-е издание. Переработанное и дополненное. – М.: Энергоатомиздат, 1986. - 648 с.: ил.*
3. *Лыков А.В. Теория теплопроводности М.Высшая школа. 1967. 600 с.*
4. *Подстригач Я. С., Коляно Ю. М., Семерак М. М. Температурные поля и напряжения в элементах электровакуумных приборов. – Киев: Наук. думка, -1981. – 344 с.*
5. *Семерак М.М., Працевят М.М., Дячишин А.С. Определение и анализ погрешности от нагрева термометров сопротивления измерительным током. В кн.: Термомеханические процессы в кусочнооднородных элементов конструкции. Сб. науч. тр. Киев, Наук. думка, 1978-С.146-150.*

УДК 614.843(075.32)

*О.Е. Васильева к.т.н., А.В. Камінський, О.В. Придатко, О.В. Хлєвной  
(Львівський державний університет безпеки життєдіяльності)*

#### ОПТИМІЗАЦІЙНА ПРОГРАМА ВИБОРУ КОНСТРУКТИВНИХ ТА ЕКСПЛУАТАЦІЙНИХ ЧИННИКІВ ЗУБЧАСТИХ ПЕРЕДАЧ КОРОБКИ ВІДБОРУ ПОТУЖНОСТІ АЦ-40(130)63Б

На основі середовища програмування Delphi та з використанням методу Монте-Карло розроблена унікальна програма для оптимального визначення конструктивних та експлуатаційних чинників зубчастих передач коробки відбору потужності автоцистерни АЦ-40(130)63Б з урахуванням дії динамічних навантажень, які виникають при максимальній висоті забору та подачі води.

**Сучасний стан.** При розробленні конструкції коробок відбору потужності пожежних автомобілів, як відомо, найважливішими є такі вимоги:

- відповідність розробленої конструкції її призначенню;
- компактність конструкції;
- забезпечення встановленого терміну експлуатації при заданих режимах роботи;
- забезпечення високої надійності розробленої конструкції тощо.

Від коробки відбору потужності, через карданну передачу, передається крутний момент на насос.

Тому при великій висоті забору та подачі води в зубчастих передачах коробки відбору потужності виникають значні динамічні навантаження, які сприяють швидкому зносу